

بررسی اثرات دو جزء فعال جدا شده از سم عقرب *Buthotus schach* بر ویژگی‌های پتانسیل عمل نورون‌های حلزون

هانیه تمدن^۱، زهرا قاسمی^۱، دکتر حسین وطن پور^۲، دکتر مهیار جان احمدی^{۱*}

^۱ مرکز تحقیقات نوروفیزیولوژی و گروه فیزیولوژی، دانشکده پزشکی، دانشگاه علوم پزشکی شهید بهشتی
^۲ گروه سم شناسی و داروسازی، دانشکده داروسازی، دانشگاه علوم پزشکی شهید بهشتی

چکیده

سابقه و هدف: درک چگونگی اثرات سلولی و الکتروفیزیولوژیک سموم، از جمله سموم عقرب، می‌تواند گامی در جهت تولید داروهای جدید باشد. *Buthotusschach* (BS) یکی از خطرناک‌ترین عقرب‌های نواحی گرمسیر ایران است. هدف مطالعه حاضر، بررسی اثرات الکتروفیزیولوژیک دو جزء فعال استخراج شده از سم عقرب *Buthotusschach* (BS) بر شکل پتانسیل عمل نورون *F1* حلزون باغی بود. روش بررسی: ثبت داخل سلولی از جسم سلولی نورون‌های *F1* حلزون باغی در حضور و عدم حضور دو جزء فعال *F6* و *F4* جدا شده از سم عقرب BS در دو غلظت مختلف ۵۰ نانومولار و ۱ میکرومولار انجام شد.

یافته‌ها: در شرایط کنترل، پتانسیل استراحت غشای نورون‌ها $43/11 \pm 0/33$ میلی ولت، دامنه پتانسیل عمل $49/34 \pm 0/39$ میلی ولت و فاصله زمانی رسیدن پتانسیل عمل به قله خود $17/02 \pm 0/32$ میلی ثانیه بود. در حالی که افزودن جزء *F4* به مایع خارج سلولی، اثر دوگانه بصورت وابسته به ولتاژ روی پتانسیل استراحت غشا داشت، به طوری که در غلظت ۵۰ نانومولار موجب هیپرپلاریزاسیون پتانسیل استراحت غشا شد ($48/81 \pm 0/54$ میلی ولت؛ $P < 0/01$)، اما دوز ۱ میکرومولار آن پتانسیل غشا را به سمت ولتاژهای دیپلاریزه شیفیت داد ($45/38 \pm 0/46$ میلی ولت؛ $P < 0/01$). دامنه پتانسیل عمل تنها تحت تاثیر دوز پایین کاهش معنی داری یافت ($45/38 \pm 0/46$ میلی ولت؛ $P < 0/01$). مدت زمان لازم برای رسیدن به قله بطور معنی داری ($P < 0/01$) تحت تاثیر هر دو غلظت افزایش پیدا کرد. حال آنکه افزودن جزء *F6* موجب دیپلاریزاسیون پتانسیل استراحت غشا شد. محلول رینگر حاوی جزء *F6* با غلظت ۵۰ نانومولار هم چنین باعث افزایش دامنه غلظت بالاتر محلول هیچ اثر معنی داری روی این پارامترها نداشت.

نتیجه‌گیری: اجزای جدید جدا شده از سم عقرب *Buthotusschach* به ویژه در غلظت پایین باعث تغییر ویژگی‌های پتانسیل شد که با توجه به نقش کانالهای سدیمی در دامنه و زمان رسیدن به قله پتانسیل عمل به نظر می‌رسد این اجزا از طریق تاثیر بر کانال‌های سدیمی موجب تغییرات ذکر می‌شود.

واژگان کلیدی: سم عقرب، ثبت داخل سلولی، پتانسیل عمل، *Buthotus schach*

مقدمه

سموم، مواد ترشحی حیوانات سمی هستند و مخلوطی از مولکول‌های بزرگ زیست فعال همچون سموم پروتئینی، آنزیم‌ها

و پلی پپتیدها می‌باشند. سموم از نظر شیمیایی خالص هستند و مواد فعال موجود در آنها اثرات خاصی بر سیستم‌های بیولوژیک دارند. اگرچه سموم و زهرابه‌ها موجب بروز علائم پاتوفیزیولوژیک می‌گردند، لکن می‌توانند به مواد مؤثر در درمان و بهبود بسیاری از بیماری‌ها نیز تبدیل شوند (۱). امروزه به خوبی پذیرفته شده است که یک ماده سمی می‌تواند در صورت مصرف درست به عنوان یک دارو نیز عمل نماید. استفاده از سموم در درمان

آدرس نویسنده مسئول: تهران، دانشگاه علوم پزشکی شهید بهشتی، دانشکده پزشکی، مرکز تحقیقات نوروفیزیولوژی و گروه فیزیولوژی، دکتر مهیار جان احمدی (e-mail: Janahmadi@sbm.ac.ir)
تاریخ دریافت مقاله: ۱۳۹۳/۲/۲۱
تاریخ پذیرش مقاله: ۱۳۹۳/۶/۲۵

عقرب همچنين منبع غنی از پپتیدها با تنوعی از اثرات بیولوژیک و فارماکولوژیک است که باعث تخلیه حجیم کاتکول آمین ها و در نهایت موجب مرگ می شوند (۳). پروتئین هدف نوروتوکسین های عقرب اغلب کانال های سدیمی و پتاسیمی است. از بین ۱۵۰۰ گونه عقرب، *Schach* کوه (=Hottentotta) *zagrosensis* نامیده می شود، از خانواده *Buthidae* یک عقرب خطرناک در ایران محسوب می شود (۳). زهر گونه های خانواده بوتیده که عامل بیشترین گزیدگی ها در ایران هستند بیشتر روی دستگاه عصبی اثر گذاشته و باعث پیدایش عوارض ناشی از اختلالات در سیستم اعصاب محیطی شامل سیستم پاراسمپاتیکی و سیستم عصبی عضلانی می شوند (۱۰). از بین سموم حیوانی، سموم عقرب به دلیل فعالیت و اختصاصی عمل کردن زیادی که دارند جهت مطالعه مکانیسم های پیچیده بیولوژیک از جمله مطالعه رفتار کانال های یونی سودمند می باشند (۱۱). از آنجاییکه بیشترین اثر زهر عقرب مربوط به نوروتوکسین های موجود در زهر است، لذا در بسیاری از مطالعات بر روی سم عقرب، نوروتوکسین های زهر به عنوان هدف اختصاصی در نظر گرفته می شود (۱۰). نوروتوکسین موجود در زهر عقرب بسیار کشنده و از این نظر قابل رقابت با سم مار و تنها کمی ضعیف تر از سم برخی باکتری ها هستند. هدف مولکولی نوروتوکسین ها کانال های وابسته به ولتاژ از جمله سدیمی و پتاسیمی می باشد، بنابراین سموم عقرب اغلب بر روی سلول های تحریک پذیر اثر میکنند (۱۰). برخی از نوروتوکسین های پروتئینی موجود در سموم عقرب دارای خاصیت انتخابی بر روی کانال های یونی پستانداران هستند (۱۰). تاکنون بیش از ۴۰۰ توکسین از عقرب هایی با گونه های مختلف شناسایی شده است اما بیشتر آنها روی کانال های سدیم اثر میکنند (۱۱). سموم عقرب هایی از خانواده *Buthidae* که به عنوان سموم پپتیدی شناخته شده اند (۱۱)، اثرات گسترده ای بر روی موجودات مهره دار و بی مهره دارند (۱۱) و مسمومیت آنها در ارتباط با انواع مختلفی از پلی پپتیدهایی است که با ۳ یا ۴ پل دی سولفیدی به یکدیگر متصل هستند (۱۲ و ۱۳). کانال های سدیمی وابسته به ولتاژ در بسیاری از سلول های بدن وجود دارند و در بسیاری از اعمال سلولی مانند تولید و انتشار پتانسیل عمل در سیستم عصبی نقش دارند که در بیشتر موارد هدف اختصاصی بسیاری از سموم پپتیدی عقرب ها و مسئول بروز تظاهرات عقرب گزیدگی هستند (۱۴). مکانیسم های اولیه در مورد نحوه تاثیر سموم عقرب بر روی کانال های سدیمی توسط مدل های ارائه شده توسط Catterall به دست آمده اند. سموم عقرب بلند زنجیره با ۴ پل دی سولفیدی روی کانال های سدیمی و سموم زنجیره کوتاه با

بسیاری از بیماری ها در منابع پزشکی قدیمی اشاره گردیده است (۱). اصطلاح Apitherapy با قدمتی هزاران ساله به استفاده پزشکی و درمانی محصولات زنبور عسل که شامل عسل، دانه کرده، موم و سم زنبور عسل است، گفته می شود. شناخته شده ترین کاربرد درمانی سم زنبور عسل، در مورد بیماری های خودایمنی و به خصوص مالتیپل اسکلروزیس می باشد (۲). در تحقیقات مدرن و روز، انجام مطالعات دقیق در زمینه تظاهرات پاتوفیزیولوژیک ناشی از سموم، به محققین اجازه داده است که کاربرد منطقی آنها را برای تولید موادی که اثرات درمانی قوی دارند مورد توجه قرار دهند. بنابراین، بررسی اثرات سلولی و الکتروفیزیولوژیک، از جمله سموم عقرب، شاید بتواند گامی در جهت تولید داروهای جدید باشد و به همین دلیل در بررسی حاضر اثرات الکتروفیزیولوژیک دو جزء جدا شده از سموم عقرب که توسط وطن پور و همکارانش در دانشکده داروسازی دانشگاه علوم پزشکی شهید بهشتی جداسازی شده (۳)، مورد بررسی قرار می گیرد. اخیراً اثرات سم خالص و اجزا جدا شده (F4 و *Buthotusschach*(F6) که یکی از خطرناک ترین عقرب ها در نواحی گرمسیر ایران است، بر روی انتقال عصب عضله بررسی شده (۳) و نشان داده شده است که سم و به ویژه اجزاء جدا شده آن، با اثر بر روی رهایش Ach موجب افزایش گذرای دامنه توینج عضلانی شد که همراه با انقباض فوق العاده شدید بود، اما تاثیر آنها بر روی ویژگیهای الکتریکی سلول های عصبی تاکنون مطالعه نشده است. بیش از هفتادوپنج سال پیش، Calmette و همکارانش نشان دادند که از نظر فیزیولوژیک اجزاء فعال سم مار ممکن است دارای اثرات درمانی قوی باشد (۱). آنها نشان دادند که زهر مار میتواند سرطان را در موش کوچک آزمایشگاهی درمان نماید. پس از آن، گزارشات متعددی مبنی بر اثرات ضد سرطانی سموم گونه های مختلف مار داده شد (۴، ۵). سموم و زهرهای خالص بی مهرگان، به ویژه بندپایان از جمله عقرب و زنبور عسل گزارش شده که اثرات درمانی دارند؛ به عنوان مثال Chlorotoxin که پپتیدی با ۳۶ اسید آمینه است و از سم عقرب گونه *Leiurusquinquestriatus* استخراج گردیده، می تواند مانع از رشد سلول های گلیوما گردد (۶، ۱). Stoppin پروتئین کوچکی با ۲۷ اسید آمینه است که از سم عقرب گونه آسیایی *Buthusmartensi* *Karsh* استخراج شده و می تواند سلولهای سرطانی را به صورت وابسته به P53 (پروتئین مهار کننده تومور) از بین ببرد (۷). نوروتوکسین Kaliotoxin، پلی پپتید ۴ کیلو دالتونی استخراج شده از عقرب *Androctonusmauretanicusmauretanicus* نشان داده شده که می تواند در بهبود مالتیپل اسکلروزیس و تحلیل استخوان ناشی از پریدونیت در موش مؤثر باشد (۸، ۹). سموم

۳ پل دی‌سولفیدی بر کانال‌های پتاسیمی اثر کرده و آنها را بلوک می‌کنند (۱۵). بنابراین، با توجه به تحقیقات انجام شده، شناخت اثرات سلولی اجزاء تشکیل دهنده سموم می‌تواند در روشن نمودن اثرات بیولوژیک و شاید پتانسیل درمانی احتمالی سموم اهمیت داشته باشد. لذا بررسی حاضر، به بررسی اثرات الکتروفیزیولوژیک اجزاء سموم استخراج شده از عقرب *Buthotusschach* بر نورون‌های حلزون با استفاده از ثبت داخل سلولی پرداخت.

مواد و روشها

این تحقیق به روش تجربی و در شرایط *in vitro* انجام شد و در آن از تکنیک ثبت داخل سلولی که با وارد نمودن یک الکتروود به داخل سلول و قرار دادن یک الکتروود رفرانس در خارج سلول استفاده شد و ویژگی‌های پتانسیل عمل نورونی ثبت و بررسی گردید. آزمایشات بر روی نورون‌های F1 در گانگلیون زیر مری صورت گرفت. بدین منظور نمونه‌های بالغ حلزون باغی را که از منطقه شمال ایران جمع‌آوری شده بود، پس از خارج کردن از صدف روی چوب پنبه تثبیت کرده و با ایجاد شکافی طولی در ناحیه بین دو شاخک، حلقه گانگلیونی دور مری را به همراه اعصاب محیطی از بدن خارج و مجموعه آن را با سوزن حشره در محفظه ثبت با بستر سیلگارد و حاوی رینگر نرمال تثبیت کرده و بافت پیوندی اطراف آن را تا آشکار شدن نورون‌ها به وسیله انبرک‌های بسیار ظریف برداشته شد. محلول رینگر نرمال (بر حسب میلی مولار) شامل (5) $MgSO_4$ ، (4) KCl ، (10) $CaCl_2$ ، (80) $NaCl$ ، (10) $Glucose$ و $HEPES$ (5) بود و pH آن با $Trisma\ base$ در حد ۷/۴ تا ۷/۶ تنظیم شد. در شرایط کنترل شده آزمایشگاه از نورون‌های کنترل و پس از آنکه در معرض سم قرار گرفتند به وسیله ثبت داخل سلولی به روش کلمپ جریان در شرایط خودبخودی و یا پس از تزریق جریان به عمل آمد و فعالیت الکتریکی نورونی در شرایط مختلف مقایسه گردید. محلول رینگر حاوی اجزاء F4 و F6 در دو غلظت $1\ \mu M$ و $50\ nM$ (دوز سم بر اساس دوزی که در مورد سم عقرب کالیوتوکسین به عنوان استاندارد استفاده شده است (۱۶،۹) انتخاب گردید) تهیه شد و به کمک سیستم پرفیوژن متکی به جاذبه از محفظه ثبت حاوی گانگلیون عبور داده شد. مکانیسم سلولی تاثیر دو جزء فعال شده، با اندازه گیری ویژگی‌های کمی پتانسیل عمل صورت گرفت. آزمایش‌ها در سه گروه آزمایشی مجزا انجام شد. در هر گروه حداقل از پنج سلول ثبت داخل سلولی صورت گرفت و

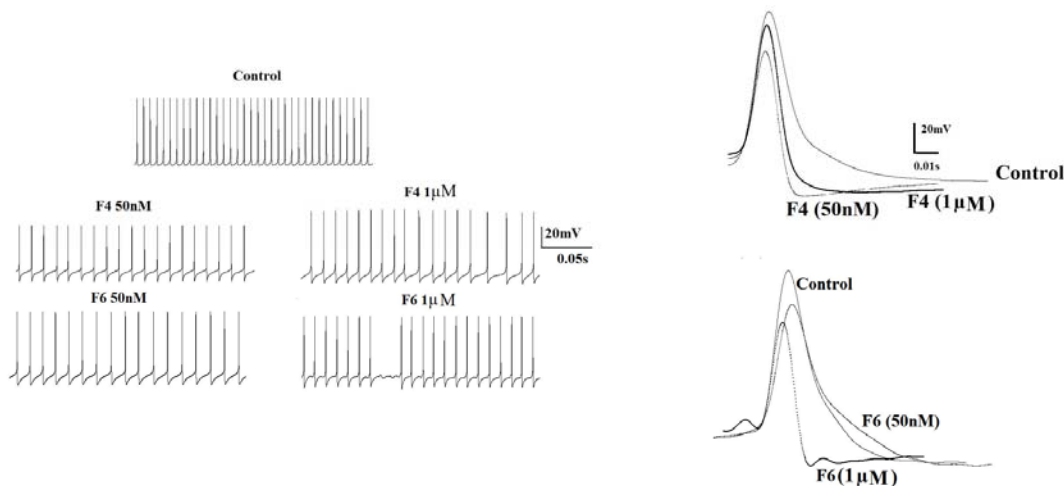
پس از آن که به مدت ۱۵-۱۰ دقیقه ثبت پایه از فعالیت خودبخودی سلول‌های F1 در شرایط کنترل به عمل آمد، به منظور بررسی اثر سموم، در گروه جزء F4 محلول حاوی سم با دوز $50\ \mu M$ نانومولار و $1\ \mu M$ میکرومولار و در گروه جزء F6 نیز محلول با همین غلظت‌ها به محیط خارج سلولی پرفیوژ شد و آنگاه از فعالیت الکتریکی سلول‌ها در این شرایط ثبت به عمل آمد. آنالیز نتایج حاصل از آزمایشات به کمک نرم افزار (ADInstrument, Australia) Lab Chart انجام شد و از برنامه Excel برای محاسبه میانگین و انحراف معیار داده‌ها و رسم منحنی‌ها استفاده خواهد شد. به منظور مقایسه داده‌ها از آزمون‌های آماری ANOVA یک طرفه استفاده شد و داده‌ها با به صورت میانگین \pm انحراف معیار ارائه گردید. مقادیر $P < 0.05$ معنی‌دار در نظر گرفته شد. متغیرهای مورد بررسی در این مطالعه، اطلاعات خام بدست آمده از طریق تکنیک Current clamp بودند. این متغیرها عبارت بودند از: ۱- اختلاف پتانسیل غشاء سلول (اختلاف ولتاژ بین دو طرف غشای سلول عصبی)، ۲- دامنه پتانسیل عمل (ارتفاع سیگنال از سطح پتانسیل استراحت تا قله پتانسیل عمل) و ۳- زمان رسیدن به قله (time to peak) پتانسیل عمل (فاصله زمانی از شروع پتانسیل عمل تا قله آن).

یافته‌ها

در شرایط کنترل، نورون‌ها دارای فعالیت خودبخودی منظم بودند (شکل ۱) و پتانسیل استراحت غشای نورون‌ها برابر با 49.34 ± 0.39 میلی ولت، دامنه پتانسیل عمل 49.34 ± 0.39 میلی ولت و فاصله زمانی رسیدن پتانسیل عمل به قله خود 17.02 ± 0.32 میلی ثانیه بود (جدول ۱).

اثرات جزء F4 بر روی خصوصیات پتانسیل عمل

به دنبال افزودن جزء F4 جدا شده از سم عقرب BS به مایع خارج سلولی، الگوی شلیک پتانسیل عمل تغییر پیدا کرد و تحریک پذیری نورونی نسبت به گروه کنترل کاهش یافت (شکل ۱). هر دو دوز $50\ \mu M$ نانومولار و $1\ \mu M$ میکرومولار اثرات دوگانه بر روی پتانسیل استراحت غشا داشت (جدول ۱)، به طوری که محلول با غلظت $50\ \mu M$ نانومولار، پتانسیل استراحت را به طور معنی‌داری به سمت پتانسیل‌های هیپرپلاریزه شیف داد ($P < 0.001$ ؛ $-48.81 \pm 0.54\ mV$)، اما دوز $1\ \mu M$ میکرومولار محلول، به صورت معنی‌دار پتانسیل غشا را به سمت پتانسیل‌های دپلاریزه تر تغییر داد ($P < 0.001$ ؛ $-40.35 \pm 0.25\ mV$). دامنه پتانسیل عمل (جدول ۱) تحت تاثیر دوز $50\ \mu M$ نانومولار



شکل ۱. سمت راست: تاثیر دو جزء F4 و F6 (جدا شده از سم عقرب بوتوتوس شاخ) بر الگوی شلیک پتانسیل عمل در شرایط کنترل و در حضور F4 و F6 در دو غلظت ۵۰ nM و ۱ µM. به منظور نشان دادن تفاوت پاسخ، در هر یک از شرایط، یک پتانسیل عمل انتخاب و بر هم منطبق گردیده است. سمت چپ: پتانسیل‌های عمل خودبه‌خودی در شرایط کنترل و در حضور سموم.

جدول ۱. مقایسه اثرات سموم F4 و F6 در دو غلظت ۵۰ نانومولار و ۱ میکرومولار (در هر گروه $n > 5$) بر شاخص‌های الکتروفیزیولوژیک پتانسیل عمل سلول‌های عصبی

Time to peak (ms)	APA (mV)	RMP (mV)	گروه آزمایشی
17.02 ± 0.32	49.34 ± 0.39	-43.11 ± 0.33	Control
21.33 ± 0.54*	45.38 ± 0.46*	-48.81 ± 0.54*	F4-50 nM
20.64 ± 0.75*	49.85 ± 0.69	-40.35 ± 0.25*	F4-1 µM
28.04 ± 0.92*†	52.27 ± 0.39*‡	-40.17 ± 0.45*‡	F6-50 nM
17.86 ± 0.18 ¹	49.48 ± 0.56	-41.5 ± 0.56 [†]	F6-1 µM

تاثیر سموم بر پتانسیل استراحت غشا سلول (A)، دامنه پتانسیل عمل (B)، مدت زمان لازم برای رسیدن به قله پتانسیل عمل (C). * تفاوت معنی‌دار بین میانگین گروه‌ها با کنترل ($p < 0.001$)؛ † تفاوت معنی‌دار بین میانگین گروه‌ها با کنترل ($p < 0.01$)؛ ‡ تفاوت معنی‌دار بین دو گروه F4 و F6 در غلظت‌های مشابه ($p < 0.001$)؛ ¹ تفاوت معنی‌دار بین دو گروه F4 و F6 در غلظت‌های مشابه ($p < 0.01$).

و ۱ میکرو مولار (-41.5 ± 0.56 mV؛ $P < 0.01$) به سمت پتانسیل‌های دپلاریزه‌تر شیف‌ت داد (جدول ۱). محلول رینگرحاوی جزء F6 با غلظت ۵۰ نانومولار، هم چنین باعث افزایش دامنه پتانسیل عمل (52.27 ± 0.39 mV؛ $P < 0.001$) و مدت زمان رسیدن به قله شد (28.04 ± 0.92 ms؛ $P < 0.001$)، در حالی که غلظت بالاتر محلول هیچ اثر معنی‌داری روی این پارامترها نداشت (جدول ۱).

بحث

نتایج بررسی حاضر نشان داد که هر دو جزء جدا شده از سم این عقرب باعث افزایش مدت زمان لازم برای رسیدن به قله پتانسیل عمل شد. با توجه به نقش کانال‌های سدیمی وابسته

این سم کاهش معنی‌داری یافت (45.38 ± 0.46 mV؛ $P < 0.001$)، اگرچه این محلول در غلظت بالاتر خود اثر معنی‌داری روی این پارامتر نداشت. تحت تاثیر جزء F4 مدت زمان لازم برای رسیدن به قله به صورت معنی‌داری افزایش پیدا کرد (جدول ۱). افزایش مدت زمان رسیدن به قله (Time to Peak) در دوز ۵۰ نانومولار و ۱ میکرومولار به ترتیب برابر با (20.64 ± 0.75 ms؛ $P < 0.001$) و (21.33 ± 0.54 ms؛ $P < 0.001$) بود.

اثرات جزء F6 بر روی ویژگی‌های پتانسیل عمل

کاربرد جزء F6 نیز باعث کند شدن آهنگ شلیک پتانسیل عمل گردید (شکل ۱) و پتانسیل استراحت غشا سلول FI را در هر دو غلظت ۵۰ نانومولار (-40.17 ± 0.45 mV؛ $P < 0.001$)

(سم زنبورعسل) که مهارکننده اختصاصی کانال‌های پتاسیم وابسته به کلسیم (K_{Ca}) است، منجر به کاهش دامنه و طول مدت پتانسیل عمل می‌شود (۲). این درحالی است که مطالعه حاضر به ما نشان داد اگرچه جزء F_4 ، به صورت معنی‌داری دامنه پتانسیل عمل را کاهش می‌دهد، اما جزء F_6 عکس این نتیجه را نشان داده یعنی باعث افزایش دامنه پتانسیل عمل می‌شود. دامنه و *upstroke* حاصل فعالیت کانال‌های وابسته به ولتاژ سدیمی است (۲۵).

از آنجایی که جریان‌ات سدیمی فعال شده رو به داخل به واسطه دپلاریزاسیون غشا تا حد آستانه و باز شدن کانال‌های سدیمی وابسته به ولتاژ، عامل اصلی بروز فاز بالاروی پتانسیل عمل هستند و همچنین کانال‌های کلسیمی وابسته به ولتاژ نیز در روند دپلاریزاسیون غشا طی پتانسیل عمل فعال می‌شوند، می‌توان پیشنهاد کرد که سموم بر عملکرد کانال‌های یونی درگیر در فاز بالاروی پتانسیل عمل، یعنی کانال‌های سدیمی و احتمالاً کلسیمی وابسته به ولتاژ، دارای اثر مهاری است و با کاهش فعالیت آنها موجب بروز تغییراتی در سرعت فاز بالاروی پتانسیل عمل شده است، هرچند تاثیر دو جزء متفاوت از یکدیگر می‌باشد (۲۹-۲۶). از طرفی احتمالاً مهار برخی جریان‌های پتاسیمی باعث آهسته نمودن فرایند غیرفعال سازی کانال‌های یونی و در نتیجه دپلاریزاسیون بیشتر و ورود مقدار بیشتر یون کلسیم در هر بار تحریک سلول و در نهایت فعال سازی نوع دیگری از کانال‌های پتاسیمی یعنی کانال‌های پتاسیمی وابسته به کلسیم می‌شود که این موضوع می‌تواند علت احتمالی تفاوت تاثیر دو جزء را روی دامنه و الگوی پتانسیل عمل توجیه نماید.

بر اساس نتایج به دست آمده می‌توان گفت که دو جزء جدا شده از سم عقرب *Buthotusschach* احتمالاً با تغییر عملکرد کانال‌های یونی به ویژه پتاسیمی باعث تغییر تحریک‌پذیری نوروها می‌شوند.

تشکر و قدردانی

هزینه انجام تحقیق حاضر توسط معاونت پژوهشی دانشکده پزشکی در قالب حمایت از پایان‌نامه‌های تحصیلات تکمیلی تامین گردیده است و بخشی از پایان‌نامه هانیه تمدن دانشجوی کارشناسی ارشد فیزیولوژی می‌باشد.

به ولتاژ در زمان رسیدن به قله یا به عبارتی حداکثر تغییرات ولتاژ نسبت به زمان به نظر می‌رسد که افزایش مدت زمان رسیدن پتانسیل عمل به قله تحت تاثیر سم احتمالاً ناشی از مهار کانال‌های وابسته به ولتاژ سدیمی باشد. از طرفی هردو جزء F_4 و F_6 در غلظت بالا باعث دپلاریزه شدن پتانسیل استراحت غشا سلول شدند. این دپلاریزاسیون می‌تواند ناشی از مهار کانال‌های پتاسیمی رو به خارج باشد. Banerjee و همکاران در سال ۲۰۱۳ نشان دادند که سم عقرب *Charybdotoxin* با اتصال به سطح خارج سلولی کانال‌های وابسته به ولتاژ پتاسیمی موجب مهار منفذ کانال و از این طریق مانع از خروج K^+ می‌گردد که خود باعث دپلاریزاسیون پتانسیل غشا می‌شود (۱۷). هم چنین گزارش شده است که سم *Quinquestratus* جدا شده از سم عقرب *Leiurusquin* موجب دپلاریزاسیون پتانسیل غشا عضلات اسکلتی می‌گردد (۱۸). سموم عقرب مخزن فارماکولوژیک بزرگی از توکسین‌های پپتیدی است که می‌توانند اطلاعات خوبی در مطالعه و شناخت کانال‌های یونی مختلف از قبیل کانال‌های سدیمی، پتاسیمی، کلر و کلسیمی و همچنین آسیب‌های مرتبط با آنها به ما ارائه دهند (۱۹). پپتیدهای مشتق از سموم، کانال‌ها و رسپتورهای غشایی مختلفی را مورد حمله خود قرار می‌دهند؛ به عنوان مثال کالیوتوکسین که یک نورووتوکسین جدا شده از نوعی عقرب می‌باشد (۲۰) به کانال‌های وابسته به ولتاژ پتاسیمی نوع $Kv1.3$ و کانال‌های پتاسیمی وابسته به کلسیم نوع BK متصل شده و با بستن ورودی کانال و القاء تغییر فرم فضایی در فیلتر انتخابی پتاسیم، جریان پتاسیم را از طریق این کانال‌ها مهار می‌کند (۲۰). این کانال‌ها فرایندهای تنظیمی مختلفی، شامل رهایش نوروترانسمیتر، ضربان قلب، ترشح انسولین و انقباض عضله صاف را کنترل می‌کنند (۲۱). مهار کانال‌های $Kv1.3$ توسط کالیوتوکسین برخی بیماری‌ها را در مدل‌های موش آزمایشگاهی (rat) مالتیپل اسکلروزیس و تحلیل استخوان ناشی از التهاب دندان بهبود می‌بخشد (۲۲، ۹، ۸). همچنین تترودوتوکسین که سم استخراج شده از ماهی بادکنکی است اثر سمی خود را از طریق مهار عملکرد کانال‌های سدیمی اعمال می‌کند (۲۳). کلروتوکسین که جز فعال سم نوعی عقرب است توانایی مهار هدایت کلر را از کانال‌های کلر دارد (۲۴). همچنین نشان داده شده است که استفاده از آپامین

REFERENCES

1. Biswas A, Gomes A, Sengupta J, Datta P, Singha S, Dasgupta AK, et al. Nanoparticle-conjugated animal venom-toxins and their possible therapeutic potential. *J Venom Res* 2012;3:15-21.

2. Vatanparast J, Janahmadi M. Contribution of apamin sensitive SK channels to the firing precision but not to the slow after hyperpolarization and spike frequency adaptation in snail neurons. *Brain Res* 2009;1255:57-66.
3. Vatanpour H, Ahmadi F, ZareMirakabadi A, Jalali A. Two biological active fractions isolated from *Buthotusschach* (BS) scorpion venom examined on striated muscle preparation, in-vitro. *IJPR* 2012;11:905-11.
4. Iwaguchi T, Takhechi M, Hayashi K. Cytolytic activity of cytotoxin isolated from Indian cobra venom against experimental tumor cell. *Biochem Int* 1985;10:343-49.
5. Debnath A, Chatterjee U, Das M, Vedasiromoni JR, Gomes A. Venom of Indian monocellate cobra and Russell's viper show anticancer activity in experimental models. *J Ethnopharmacol* 2007;111:681-84.
6. Shaw C. Advancing drug discovery with reptile and amphibian venom peptides. *Biochemical Soc* 2009; 31:34-37.
7. Li C, Liu M, Monbo J, Zou G, Li C, Yuan W, et al. Turning a scorpion toxin into a antitumor miniprotein. *J Am Chem Soc* 2008;130:13546-48.
8. Beeton C, Barbaria J, Giraud P, Devaux J, Benoliel AM, Gola M, et al. Selective blocking of voltage-gated K⁺ channels improves experimental autoimmune encephalomyelitis and inhibits T cell activation. *J Immunol* 2001;166:936-44.
9. Valverde P, Kawai T, Taubman MA. Selective blockade of voltage-gated potassium channels reduces inflammatory bone resorption in experimental periodontal disease. *J Bone Miner Res* 2004;19:155-64.
10. Ahmadi F. The effects of *Buthotusschach* (*Hottentottazagrosensis*) scorpion venom and its extracted fractions on neuro-muscular transmission [PhD Thesis]. Tehran: Shahid Beheshti University of Medical Sciences; 2012. [In Persian]
11. Ghane M, ZareMirakabadi A, Rabei H, Mohamadpour N, EbrahimHabibi A. Identification and purification of two mammalian neurotoxins from Iranian scorpion (*Buthotusschach*) venom. *Arch Razi Institute* 2008;63:39-45.
12. Zlotkin E, Miranda F, Rochat C. Chemistry and pharmacology of Buthinae scorpion venoms. In: Bettini S, Editor. *Arthropod Venoms*. New York: Springer; 1978. P.317-69.
13. Rochat H, Bernard P, Couraud F. Scorpion toxins: chemistry and mode of action. *Adv Cytopharmacol* 1979;3:325-34.
14. Wang GW, Strichartz GR. Purification and physiological characterization of neurotoxins from the venom of the scorpion *Centruroidessculpturatus* and *Leiurusquinquestriqtus*. *Mol Pharmacol* 1983;23:519-33.
15. Catterall WA. From ionic currents to molecular mechanisms: the structure and function of voltage-gated sodium channels. *Neuron* 2000;26:13-25.
16. Cerni FA, Pucca MB, Peigneur S, Cremonese CM, Bordon KCF, Tytgat J. Electrophysiological characterization of Ts6 and Ts7, K⁺ channel toxins isolated through an improved *Tityusserrulatus* venom purification procedure. *Toxins* 2014;6:892-913.
17. Banerjee A, Lee A, Campbell E, Mackinnon R. Structure of a pore-blocking toxin in complex with a eukaryotic voltage-dependent K⁺ channel. *Elife*.2013;2:e00594.
18. Chang CC, Hong SJ, Su MJ. A study on the membrane depolarization of skeletal muscles caused by a scorpion toxin, sea anemone toxin II and crotoxin and the interaction between toxins. *Br J Pharmacol* 1983;79:673-80.
19. Bergeron ZL, Bingham JP. Scorpion toxins specific for potassium (K⁺) Channels: a historical overview of peptide bioengineering. *Toxins (Basel)* 2012;4:1082-99.
20. Crest M, Jacquet G, Gola M, Zerrouk H, Benslimane A, Rochat H, et al. Kaliotoxin, a novel peptidyl inhibitor of neuronal BK-type Ca²⁺-activated K⁺ channels characterized from *Androctonusmauretanicusmauretanicus* venom. *J BiolChem* 1992;267:1640-47.
21. Wickenden AD. K⁺ channels as therapeutic drug targets. *Pharmacol Ther* 2002;94:157-82.
22. Cahalan MD, Chandy KG. The functional network of ion channels in T lymphocytes. *Immunol Rev* 2009;231:59-87.
23. Kiernan, Matthew C, Geoffrey K, Isbister, Cindy S.-Y.Lin, Burke D, et al. Acute Tetrodotoxin-induced neurotoxicity after ingestion of Puffer fish. *Ann Neurol* 2005;57:339-48.
24. DeBin JA, Maggio JE, Strichartz GR. Purification and characterization of Chlorotoxin, a chloride channel ligand from the venom of scorpion. *Am J Physiol* 1993;264:C361-69.
25. Patrick Harty T, Waxman SG. Inactivation properties of sodium channel Nav1.8 maintain action potential amplitude in small DRG neurons in the context of depolarization. *Mol Pain* 2007;3:12.

26. Sakakibara M, Okuda F, Nomura K, Watanabe K, Meng H, Horikoshi T, et al. Potassium currents in isolated statocyst neurons and RPed1 in the pond snail, *Lymnaea stagnalis*. J Neurophysiol 2005;94:3884-92.
27. Bal R, Janahmadi M, Green GG, Sanders DJ. Two kinds of transient outward currents, IA and IAdepol, in F₇₆ and D₁ soma membranes of the subesophageal ganglia of *Helix aspersa*. J Membr Biol 2001;179:71-78.
28. Gola M, Ducreux C, Chagneux H. Ca²⁺ activated K⁺ current involvement in neuronal function revealed by insitu single channel analysis in Helix neurons. J Physiol 1990;420:73-109.
29. Thompson S. Aminopyridine block of transient potassium current. J Gen Physiol 1982;80:1-18.